

การเพิ่มสมรรถนะของเครื่องทำน้ำร้อนพลังงานแสงอาทิตย์แบบ ถังวางในแนวอนโดยการลดอัตราการไหลของน้ำในท่อน้ำบางท่อ ใน啻รับแสงอาทิตย์

Performance Improvement of Thermosyphon Solar Water Heater: Minimizing Water Flow Rate in Some Risers of the Solar Collector

พิสิฐ์ เดชะรุ่งไพบูล (Pisit Techarungpaisan)^{1*}

อโศก ศรีทองธรรม (Asoke Shithongtum)²

บรรชา บุญดาดี (Bancha Buddadee)³

ทรงสุภา พุ่มชุมพล (Songsupa Pumchumpol)³

บทคัดย่อ

บทความนี้นำเสนอ วิธีการเพิ่มสมรรถนะของเครื่องทำน้ำร้อนพลังงานแสงอาทิตย์แบบถังวางในแนวอนโดยการลดอัตราการไหลของน้ำบางท่อใน啻รับแสงอาทิตย์ เนื่องจากสมรรถนะของเครื่องทำน้ำร้อนขึ้นอยู่กับอุณหภูมิของน้ำร้อนที่ได้รับจากแผงรับแสงอาทิตย์ อุณหภูมิที่เพิ่มสูงขึ้นของน้ำร้อนเกิดจากการได้รับความร้อนจากรังสีแสงอาทิตย์ (Solar radiation) ทำให้แผ่นคุดชันความร้อน (Absorber plate) ร้อนขึ้นส่งผลไปยังอุณหภูมิของน้ำในท่อที่อยู่ใน啻รับแสงอาทิตย์ การลดอัตราการไหลของน้ำในท่อน้ำภายใน啻รับแสงอาทิตย์จะทำให้น้ำเคลื่อนตัวช้าลง ดังนั้นน้ำจะได้รับความร้อนจากรังสีแสงอาทิตย์เพิ่มขึ้น การออกแบบการทดลองเพื่อวิเคราะห์ผลทำได้โดยการติดตั้งวาล์วเปิด-ปิด ที่ท่อน้ำใกล้ท่อรวมด้านบน (Top header) ภายใน啻รับพลังงานแสงอาทิตย์ เพื่อปรับอัตราการไหลของน้ำโดยได้มีการปรับการไหล 3 รูปแบบ แบบที่ 1 เปิดวาล์ว 100% ทุกท่อ แบบที่ 2 เปิดวาล์ว 50% ทุกท่อ แบบที่ 3 เปิดวาล์วสลับระหว่าง 100% และ 50% พบว่า สมรรถนะของระบบต่ำสุดอยู่ที่ 17.71% สำหรับการทดลองในแบบที่ 1 และสูงที่สุดอยู่ที่ 35.07% สำหรับการทดลองในแบบที่ 3 ประโยชน์ที่ได้รับจากการวิจัยนี้คือ แนวทางในการปรับปรุงสมรรถนะของเครื่องทำน้ำร้อนชนิดนี้ที่มีจานวนท่อ ไประเจิงพัฒน์ โดยลดขนาดท่อน้ำที่บริเวณใกล้ท่อรวมด้านบน (Top header) เพื่อลดอัตราการไหลของน้ำในท่อ ซึ่งเป็นแนวทางในการออกแบบ啻รับแสงอาทิตย์ให้มีสมรรถนะสูงขึ้นต่อไป

¹ผู้ช่วยศาสตราจารย์ ภาควิชาวิศวกรรมเครื่องกล คณะวิศวกรรมศาสตร์ มหาวิทยาลัยอุบลราชธานี

²นักศึกษา ภาควิชาวิศวกรรมเครื่องกล คณะวิศวกรรมศาสตร์ มหาวิทยาลัยอุบลราชธานี

³อาจารย์ ภาควิชาวิศวกรรมเครื่องกล คณะวิศวกรรมศาสตร์ มหาวิทยาลัยอุบลราชธานี

* corresponding author, e-mail: tec_pisit@yahoo.com

Abstract

This paper presents a method to increase the performance of a thermosyphon solar water heater with horizontal tank by minimizing water flow rate in some riser tubes of the solar collector. Its performance depends on the water temperature in the solar collector. Heat from solar radiation was absorbed by the absorber plate and transferred to the water, which flows in the riser tube. If the water in the riser tubes flows slowly, a higher rate of heat transfer to the water is obtained. Therefore, the water temperature is increased. Three experimental models were made by adjusting regulating valves in every riser at the top header of the solar collector. Model I is 100% valve opening for all risers. Model II is 50% valve opening for all risers. In Model III, the valves are 100% opened for every other tube. The results show that the lowest efficiency is Model I which is 17.71% and the highest efficiency is Model III which is 35.07%. This will be the new design for a thermosyphon solar water heater by reducing the diameter at the end of the riser near the top header in the solar collector.

คำสำคัญ: การไหพลังงานตามธรรมชาติ, เครื่องทำน้ำร้อนพลังงานแสงอาทิตย์, ท่อน้ำ, น้ำร้อน, รังสีแสงอาทิตย์

Keywords: Solar water heater , Hot water , Solar radiation , Riser , Natural circulation

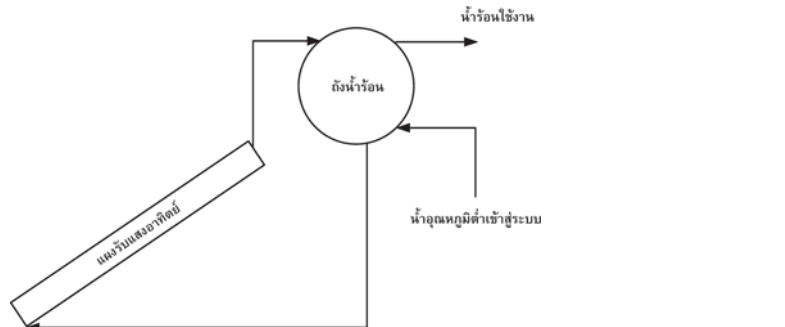
บทนำ

ความต้องการพลังงานที่เพิ่มสูงขึ้นตามความเปลี่ยนแปลงในหลายๆ ด้านส่งผลกระทบต่อการลดลงอย่างรวดเร็วของแหล่งพลังงานโดยเฉพาะน้ำมันดินและก๊าซธรรมชาติ ซึ่งอาจหมดไปในอนาคตอันใกล้ ดังนั้นการจัดการด้านพลังงานที่เหมาะสมและการศึกษาด้านพลังงานหมุนเวียน (Renewable energy) หมายถึง พลังงานที่เกิดขึ้นเองตามธรรมชาติ และสามารถนำกลับมาใช้ได้อีกอย่างไม่มีวันหมด เช่น สิ่งของเหลือใช้ที่จากการผลิตและแปรรูป มูลสัตว์ น้ำเสียจากชุมชนรวมทั้งแสงอาทิตย์ น้ำ ความร้อนใต้พิภพ ลม และคลื่น เป็นต้น การใช้ประโยชน์จากพลังงานแสงอาทิตย์เป็นหนึ่งในพลังงานหมุนเวียนที่เหมาะสมกับประเทศไทยเนื่องจากได้รับปริมาณแสงอาทิตย์สูงตลอดปีโดยเฉลี่ยมีค่าเท่ากับ 16.5 MJ/m^2 (มาตรฐาน 2542) เครื่องทำน้ำร้อน พลังงานแสงอาทิตย์แบบการไหพลังงานของน้ำตามธรรมชาติ (Thermosyphon solar water heater

with horizontal tank) เป็นหนึ่งในผลผลิตที่ได้รับจาก การศึกษาค้นคว้าและวิจัยด้านพลังงานแสงอาทิตย์ การค้นคว้าวิจัยเพื่อพัฒนาประสิทธิภาพของเครื่องทำน้ำร้อนชนิดนี้เป็นเรื่องที่น่าสนใจเนื่องจากเป็นอุปกรณ์ที่ใช้งานง่าย ไม่ซับซ้อนสามารถผลิตใช้งานตามที่พักอาศัยทั่วไปได้ การพัฒนาประสิทธิภาพของเครื่องให้สูงขึ้นจะช่วยให้การใช้งานของเครื่องมีความคุ้มค่ามากขึ้น และสามารถทดแทนเครื่องทำน้ำร้อนที่ใช้ไฟฟ้าได้เป็นอย่างดี

หลักการเบื้องต้น

โดยทั่วไปองค์ประกอบพื้นฐานของเครื่องทำน้ำร้อนพลังงานแสงอาทิตย์ประกอบด้วย แรงรับแสงอาทิตย์ (Solar collector) ถังเก็บน้ำร้อน (Storage tank) ระบบท่อ (Pipes and fitting) ที่ต่อเขื่อน ระหว่างแรงรับแสงอาทิตย์กับถังเก็บน้ำร้อนผ่านท่อกลับ (Return pipe) และท่อจ่าย (Supply pipe) และท่อที่จะนำน้ำร้อนไปใช้ดังแสดงในรูปที่ 1



รูปที่ 1. เครื่องทำน้ำร้อนพลังงานแสงอาทิตย์แบบการหมุนเวียนของน้ำตามธรรมชาติ
(Domestic solar water heater with natural circulation)

การจำแนกชนิดของเครื่องทำน้ำร้อนพลังงานแสงอาทิตย์ อาศัยลักษณะการหมุนเวียนของน้ำ ในระบบที่แตกต่างกัน 2 แบบ คือ แบบการหมุนเวียนของน้ำแบบธรรมชาติ (Natural circulation) ซึ่งเป็น Passive system เราเรียกว่า การไหลวนแบบ Thermosyphon และ แบบการหมุนเวียนของน้ำโดยใช้ปั๊ม (Forced circulation) ซึ่งเป็น Active system งานวิจัยนี้นำเสนอการวิเคราะห์สมรรถนะของเครื่องทำน้ำร้อนแบบการหมุนเวียนของน้ำตามธรรมชาติ (Natural circulation) เนื่องจากเป็นระบบที่ไม่ซับซ้อนและสามารถผลิตใช้งานเองได้ โดยที่การหมุนเวียนของน้ำในระบบเริ่มจากน้ำที่ด้านล่างสุดของถังน้ำซึ่งเป็นส่วนที่ระดับอุณหภูมิของน้ำต่ำที่สุดและไหลเข้าแผงรับแสงอาทิตย์ (Solar collector) โดยผ่านท่อจ่าย (Supply pipe) เข้าที่ท่อรวมด้านล่างของแผงรับแสงอาทิตย์ (Bottom header) แล้วผ่านท่อน้ำในแผงในแผงรับแสงอาทิตย์ (Riser tubes) ไปยังท่อรวมด้านบน (Top header) ความร้อนที่ได้รับจากรังสีแสงอาทิตย์ทำให้อุณหภูมิของน้ำที่ห่อน้ำในแผงรับแสงอาทิตย์ (Riser tubes) เพิ่มสูงขึ้น ขณะที่ความหนาแน่นของน้ำลดต่ำลงเป็นผลให้น้ำที่ร้อนขึ้นเกิดการขยายตัวและลอยตัวขึ้นสู่ด้านบนของแผงรับแสงอาทิตย์ไปรวมตัวกันที่ท่อรวมด้านบน (Top header) และไหลไปยังถังเก็บน้ำร้อนโดยผ่านท่อกลับ (Return pipe) ที่อยู่ระหว่างด้านบนของแผงรับแสงอาทิตย์กับด้านบนของถังน้ำ ที่ด้านล่างสุดของถังน้ำจะถูกแทนที่ด้วยน้ำร้อนที่ไหลมาจากการแผงรับแสงอาทิตย์ (มาริน่า, 2542) ดังแสดงในรูปที่ 1

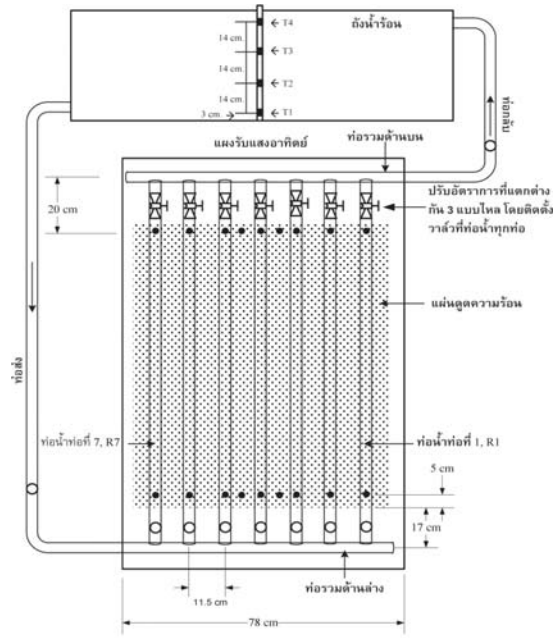
งานวิจัยที่เกี่ยวข้องกับเครื่องทำน้ำร้อนพลังงานแสงอาทิตย์แบบการไหลเวียนของน้ำ ตามธรรมชาตินำเสนอครั้งแรกโดย Close ในปี ก.ศ.1962 หลังจากนั้นมีงานวิจัยที่เกี่ยวข้อง เพิ่มมากขึ้นแต่ส่วนใหญ่อยู่บนพื้นฐานงานวิจัยของ Close ซึ่ง Close ได้เปรียบเทียบผลการทดลอง ที่ได้กับสมการทางคณิตศาสตร์ระหว่างอัตราการไหลของเหลวที่เกิดจากความแตกต่าง ของความหนาแน่นของของเหลวภายในระบบ Thermosyphon และอุณหภูมิภายในระบบ อุณหภูมิภายในถังน้ำร้อน อุณหภูมิที่ห่อเข้า - ออก ของแผงรับแสงอาทิตย์ นอกจากงานวิจัยของ Close แล้ว งานวิจัยที่เกี่ยวข้องอื่นๆ เช่น Shariah และ Löf ปี ก.ศ.1996 ที่ศึกษาเกี่ยวกับค่าที่เหมาะสม ระหว่างปริมาณของถังเก็บน้ำร้อนกับพื้นที่ของแผงรับแสงอาทิตย์ พบว่า ถังเก็บน้ำร้อนที่สูงมากกว่า 1 เมตร จะไม่มีผลกรอบต่อ Solar fraction (Solar fraction หมายถึง อัตราส่วนความร้อนที่ได้รับจากแสงอาทิตย์ต่อพลังงานที่ต้องการในกระบวนการ) นอกจากถังน้ำร้อนที่สูงน้อยกว่า 1 เมตร และการใช้งานในปริมาณสูง งานวิจัยที่ศึกษาอิทธิพลของชนิดของท่อน้ำภายในแผงรับแสงอาทิตย์ต่อสมรรถนะของระบบระหว่างท่อเหล็กกับท่อโพลีไพรีลีน โดย Riazi and Razavi (1997) พบว่า การใช้ท่อน้ำที่เป็นโพลีไพรีลีนให้ประสิทธิภาพที่ดีกว่าการใช้ท่อน้ำที่เป็นห่อเหล็ก งานวิจัยที่แสดงให้เห็นว่า ตำแหน่งที่ตั้งของเครื่องมือที่ชิ้นต่อสมรรถนะของเครื่อง โดย Helwa et al (1995) พบว่า ในพื้นที่ที่ปริมาณแสงอาทิตย์ต่ำบางครั้งการติดตั้งใช้งาน มีความจำเป็นที่จะต้องเพิ่ม พลังงานความร้อนสำรอง

แก้ระบบเพื่อให้เพียงพอต่อความต้องการใช้งาน งานวิจัยที่เสนอความสัมพันธ์ทางคณิตศาสตร์เพื่ออธิบาย พฤติกรรมของระบบได้แก่ Khalifa and Mehdi (1999) และคงสมการทางคณิตศาสตร์เพื่ออธิบาย พฤติกรรมอุณหภูมิภายในถังเก็บน้ำร้อน Gupta and Garg (1968) ได้ศึกษาเกี่ยวกับน้ำที่แตกต่างกันของท่อนำภายในแผงรับแสงอาทิตย์ พบว่าท่อน้ำที่บานดีใหญ่ กว่าจะมีอัตราการไหหล่องที่สูงกว่าแต่ความแตกต่างของ อุณหภูมิในถังน้ำร้อนจะด้านบนกับด้านล่างของถังนี้ ค่าน้อยกว่าเมื่อเทียบกับท่อน้ำที่มีขนาดเล็กกว่า Shitzer et al. (1978) ได้ทำการวิจัยเพื่อศึกษาถึงการกระจายตัว ของอุณหภูมิของเครื่องทำน้ำร้อนพลังงานแสงอาทิตย์ที่ มีจำนวนหัวไห้ไป ผลที่ได้แสดงให้เห็นว่าการกระจายตัว ของอุณหภูมิที่แผ่นดูดความร้อนและภายในถังน้ำร้อน เป็นความสัมพันธ์เชิงเส้นโดยปริยบเทียบการกระจาย ตัวของอุณหภูมิที่ตำแหน่งต่างๆ ภายใต้แรงรับแสง อาทิตย์และถังน้ำร้อนในแต่ละช่วงเวลาที่ทำการ ทดสอบ งานวิจัยที่เสนอสมการทางคณิตศาสตร์เพื่อ อธิบายพฤติกรรมของอุณหภูมิของเครื่องทำน้ำร้อน พลังงานแสงอาทิตย์ นำเสนอโดย Zvirin et al. (1976) และ Morrison (1979) และงานวิจัยที่ศึกษาตัวแปรที่มี อิทธิพลต่อสมรรถนะของระบบ เช่น งานวิจัยที่ศึกษา ตำแหน่งของท่อน้ำร้อนจากแผงรับพลังงานแสงอาทิตย์ เข้าถังที่กึ่งกลางกับด้านบนของถังน้ำร้อน พบว่า การ ต่อท่อน้ำร้อนที่ด้านบนของถังให้สมรรถนะที่ดีกว่า พิษณุโลก และ ชาลิต (2547) งานวิจัยที่ศึกษาอัตราการ ไหหล่องท่อเข้า-ออก และท่อน้ำภายในแผงรับพลังงาน แสงอาทิตย์ Pisit et al. (2005) พบว่า จากการเปรียบ เทียบระบบที่แตกต่างกัน 3 แบบระบบที่มีอัตราการ ไหหล่องต่ำ สมรรถนะของการทำน้ำร้อนที่ได้รับสูงกว่า ระบบที่อัตราการไหหล่องสูงกว่า Techarungpaisan and Teeboonma (2006) พบว่า การลดอัตราการไหหล่อง ท่อน้ำบางท่อภายในแผงรับพลังงานแสงอาทิตย์ช่วย เพิ่มสมรรถนะของระบบได้เช่นกัน

การเตรียมการทดสอบและวิธีทำการทดสอบ

การเตรียมการทดสอบ

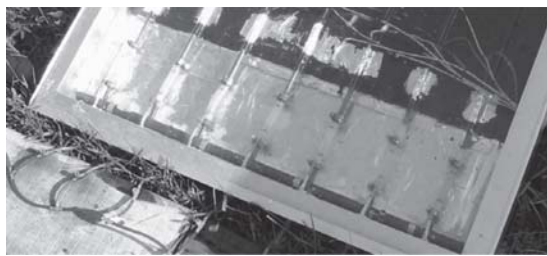
การศึกษาครั้งนี้ได้สร้างชุดทดสอบโดยอ้างอิง กับเครื่องทำน้ำร้อนพลังงานแสงอาทิตย์ที่มีจำนวนหัวไห้เชิง พาณิชย์ในประเทศไทย จากแนวคิดด้านอัตราการไหหล่องน้ำในท่อน้ำภายในแผงรับแสงอาทิตย์มีอิทธิพลต่อ การสะสมความร้อนของน้ำในท่อน้ำและสมรรถนะ ของเครื่องทำน้ำร้อนชนิดนี้ ดังนั้นผู้ทำการจึงออกแบบ การทดสอบเพื่อความคุณอัตราการไหหล่องน้ำในท่อน้ำ โดยการติดตั้งถัง เปิด-ปิด ที่ท่อน้ำ (Riser tubes) ใกล้ ท่อรวมด้านบน (Top header) ทุกท่อ เพื่อวัดอัตราการไหหล่องน้ำในทุกๆ ชั่วโมง ที่ห่อจ่าย ท่อกลับ และท่อน้ำ ภายในแผงรับแสงอาทิตย์ วัดอุณหภูมิทุกๆ 5 นาที ที่ห่อจ่าย ท่อกลับและแผ่นดูดความร้อนที่ตำแหน่งของ ท่อน้ำ และวัดอุณหภูมน้ำภายในถังน้ำร้อนทุกๆ 5 นาที ซึ่งแตกต่างกันเนื่องจากการควบคุมอัตราการไหหล่องน้ำใน ท่อโดยว่าล้วง เปิด-ปิด ที่ท่อน้ำ (Riser tubes) ดังแสดง ในรูปที่ 2



รูปที่ 2. แผนผังการเตรียมชุดทดสอบ

1. การเตรียมชุดทดลองสำหรับวัดอัตราการไหลง

การวัดอัตราการไหลงใช้วิธี Dry trace inject (Close, 1962 ; Pannigul, 1999) โดยการตัดแผ่นดูดความร้อน 15 cm. ตามความยาวของท่อน้ำ ตัดท่อน้ำทุกท่อความยาว 12 cm. แทนที่ด้วยท่อยางใส่เส้นผ่าศูนย์กลางภายใน 0.975 cm. เชื่อมต่อระหว่างท่อน้ำ และท่อจ่ายค่าน้ำล่างติดตั้งเครื่องน้ำดีซีที่ท่ออย่างทุกท่อ เช่นเดียวกัน ตัดท่อจ่ายและท่อกลับความยาว 15 cm. แทนที่ด้วยท่อยางเส้นผ่านศูนย์กลางภายใน 1.95 cm. และติดตั้งชุดเข็มน้ำดีซีที่ท่ออย่างท่อจ่ายและท่อกลับสีที่ใช้ในการทดลองมีความหนาแน่น 0.9722 เดินสารสีในถุงน้ำเกลือซึ่งสูงกว่าค่านบนสุดของถังน้ำร้อน ปล่อยสารสีผ่านท่อยางขนาดเล็กซึ่งต่อระหว่างชุดเข็มน้ำดีซีกับชุดเข็มน้ำดีซีที่ต่อจ่ายความยาว 5 cm. ในท่อน้ำทุกท่อ ท่อจ่าย และท่อกลับ ทุก 1 ชั่วโมงตั้งแต่เวลา 8:00 น. ถึงเวลา 16:00 น. ปรับตั้งเครื่องโดยวัดอัตราการไหลงระหว่าง 0.03-0.5 cm³/s ค่าคาดความเคลื่อน ± 5%



รูปที่ 3. ชุดทดลองสำหรับวัดอัตราการไหลงโดยวิธี Dry trace inject (Close, 1962 ; Pannigul, 1999)

2. การเตรียมชุดทดลองสำหรับวัดอุณหภูมิ

วัดอุณหภูมิโดย Thermocouple ชนิด K (ค่าคาดความเคลื่อน ± 0.5%) อุณหภูมิของแผ่นดูดความร้อนที่ต่อแน่นของท่อน้ำ ใกล้ท่อรวมค่านบนและค่านล่าง อุณหภูมิของท่อจ่าย และท่อกลับวัดที่ผิวของท่อจ่ายและท่อกลับปิดทับ

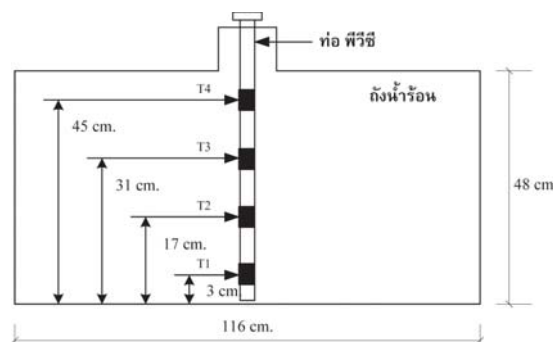
Thermocouple ด้วยแผ่นสติกเกอร์อะลูมิเนียม ดังแสดงในรูปที่ 3 วัดอุณหภูมิของน้ำในถังน้ำร้อนโดย Thermocouple ชนิด K เช่นเดียวกันดังแสดงในรูปที่ 4 เก็บข้อมูลการวัดอุณหภูมิโดย Data logger (Cambell รุ่น CRX23)

3. การวัดพลังงานแสงอาทิตย์

เครื่องมือสำหรับวัดปริมาณแสงอาทิตย์ใช้ไฟโรโนมิเตอร์ (NovaLynx Corporation รุ่น 240-8101 Star Pyranometer ค่าความคลาดเคลื่อน ± 2%)

4. การวัดอุณหภูมิของน้ำภายในถังน้ำร้อน

ดำเนินการวัดอุณหภูมิของน้ำภายในถังน้ำร้อนดังแสดงในรูปที่ 4



รูปที่ 4. ดำเนินการวัดอุณหภูมิของน้ำภายในถังน้ำร้อน

อุณหภูมิของน้ำในถังน้ำร้อนวัด 4 ตำแหน่งที่แตกต่างกันในแนวตั้ง ดังแสดงในรูปที่ 4 อุณหภูมิของน้ำตำแหน่งต่ำสุดคือ T_1 ตำแหน่งสูงสุดคือ T_4 อุณหภูมิที่ 4 ตำแหน่ง สามารถคำนวณ平均ประสีที่ ภาพของระบบได้โดยค่า T_1, T_2, T_3, T_4 ใช้คำนวณค่าอุณหภูมิเฉลี่ยของน้ำภายในถังน้ำร้อน (Water mean tank temperature, T_{sm}) จากสมการที่ 1 คำนวณหามวลของน้ำในแต่ละส่วน m_1, m_2, m_3, m_4 (พิษิษฐ์ และ ชาลิต, 2547) ประสีที่ภาพของระบบมีค่าเท่ากับ อัตราส่วนของพลังงานความร้อนที่น้ำได้รับต่อพลังงานจากรังสีแสงอาทิตย์รวมที่ตกกระทบบนระนาบของตัวรับรังสี (Pannigul, 1999)

$$T_{sm} = \frac{\sum_{i=1}^4 T_i m_i}{\sum_{i=4}^4 m_i} \quad (1)$$

เมื่อกำหนดให้

T_{sm} คือ อุณหภูมิเฉลี่ยของน้ำในถังน้ำร้อน
 T_i คือ อุณหภูมิของน้ำในส่วนที่ 1 ถึงส่วนที่

4

m_i คือ มวลของน้ำในส่วนที่ 1 ถึงส่วนที่ 4
ประสิทธิภาพของระบบ η_{sys} คำนวณได้จากสมการที่ 2

$$\eta_{sys} = \frac{\sum Q_w}{\sum I_t A_c} \quad (2)$$

โดย Q_w คือ ความร้อนที่นำได้รับ

และ $I_t A_c$ คือ รังสีแสงอาทิตย์รวมที่ตกกระทบบน
ระบบของตัวรับรังสี

ดังนั้น พลังงานที่นำไปใช้ประโยชน์ได้ Q_w คำนวณได้
จากสมการที่ 3

$$\sum Q_w = \sum_{t=6:00}^{16:00} m C_p \left(T_{sm,t+1} - T_{sm,t} \right) \quad (3)$$

เข่นเดียวกัน รังสีแสงอาทิตย์รวมที่ตกกระทบ
บนระบบของตัวรับรังสี $I_t A_c$ คำนวณได้จากสมการที่ 4

$$\sum I_t A_c = \sum (I_t A_c)_t \quad (4)$$

วิธีทำการทดลอง

เพื่อที่จะศึกษาสมรรถนะที่เปลี่ยนแปลงไป
ของเครื่องทำน้ำร้อนพลังงานแสงอาทิตย์ โดยการลด

อัตราการไหหออกน้ำบางท่อในแผงรับแสงอาทิตย์นั้น
คุณวิจัยจึงออกแบบและสร้างชุดทดลองตามที่อธิบาย
ก่อนหน้านี้และรายละเอียดแสดงไว้ในตารางที่ 1 โดย
วิธีการทดลองดำเนินการตามรายละเอียดดังนี้

การทดลองประกอบด้วย 3 แบบ เมื่อสิ้นสุด
การทดลองในแต่ละวันจะปล่อยน้ำออกจากระบบ ดังนี้

การทดลองแบบที่ 1 เปิดวาล์วที่ท่อน้ำทุกท่อ
100% ตามตำแหน่งที่แสดงในรูปที่ 2

การทดลองแบบที่ 2 เปิดวาล์วที่ท่อน้ำทุกท่อ
50% ตามตำแหน่งที่แสดงในรูปที่ 2

การทดลองแบบที่ 3 เปิดวาล์วที่ท่อน้ำ R1,
R3, R5, R7 100% ที่ห่อน้ำ R2, R4, R6 50% ตาม
ตำแหน่งที่แสดงในรูปที่ 2

และรายละเอียดการทดลองทั้ง 3 แบบแสดง
ในตารางที่ 2

เนื่องจากการทดลองแต่ละแบบนี้ใช้เครื่องมือ^{*}
ชุดเดียวกัน ดังนั้นตัวแปรที่ไม่อาจควบคุมได้ที่เกิดขึ้น
กับแต่ละแบบของการทดลอง ได้แก่ ค่าความเข้มแสง
อาทิตย์ และอุณหภูมิของอากาศแวดล้อม (Ambient
temperature) เพื่อให้ค่าของตัวแปรเหล่านี้มีค่าใกล้เคียง
กันในการทดลองแต่ละแบบ เพื่อนำผลของแต่ละแบบ
มาเปรียบเทียบกันได้ดี ต้องทำการทดลองแต่ละแบบ
หลายครั้งแล้วเลือกวันที่การทดลองแต่ละแบบที่มีค่า
รังสีแสงอาทิตย์และอุณหภูมิของอากาศแวดล้อมใกล้เคียง
กันมาเปรียบเทียบ ซึ่งผลการทดลองที่เปรียบเทียบกัน
ถูกนำเสนอในหัวข้อต่อไป

ตารางที่ 1. รายละเอียดชุดทดลอง

| อุปกรณ์ | การทดลองแบบที่ 1 | การทดลองแบบที่ 2 | การทดลองแบบที่ 3 |
|------------|---|---|---|
| ถังน้ำร้อน | | | |
| - ปริมาตร | 200 Liters | 200 Liters | 200 Liters |
| - ขนาด | เส้นผ่าศูนย์กลาง 48 cm. ยาว 116 cm. | เส้นผ่าศูนย์กลาง 48 cm. ยาว 116 cm. | เส้นผ่าศูนย์กลาง 48 cm. ยาว 116 cm. |
| - วัสดุ | ทำจากสแตนเลส ความหนา 1 mm. | ทำจากสแตนเลส ความหนา 1 mm. | ทำจากสแตนเลส ความหนา 1 mm. |
| - จำนวน | ไนโตรไฟเบอร์หนา 2.45 cm. หุ้มทับด้วยสังกะสี หนา 1 mm. | ไนโตรไฟเบอร์หนา 2.45 cm. หุ้มทับด้วยสังกะสี หนา 1 mm. | ไนโตรไฟเบอร์หนา 2.45 cm. หุ้มทับด้วยสังกะสี หนา 1 mm. |

ตารางที่ 1. รายละเอียดชุดทดลอง (ต่อ)

| อุปกรณ์ | การทดลองแบบที่ 1 | การทดลองแบบที่ 2 | การทดลองแบบที่ 3 |
|---------------------------|-----------------------------------|-----------------------------------|-----------------------------------|
| ข.ท่อส่งและท่อกลับ | | | |
| - ขนาด | เส้นผ่าศูนย์กลาง $\frac{3}{4}$ " | เส้นผ่าศูนย์กลาง $\frac{3}{4}$ " | เส้นผ่าศูนย์กลาง $\frac{3}{4}$ " |
| - วัสดุ | ท่อทองแดง | ท่อทองแดง | ท่อทองแดง |
| - ชนวน | แอโรเฟคหนา $\frac{3}{4}$ " | แอโรเฟคหนา $\frac{3}{4}$ " | แอโรเฟคหนา $\frac{3}{4}$ " |
| ค.แผงรับแสงอาทิตย์ | | | |
| - ขนาดแผงรับ | 780x1820x100 mm. | 780x1820x100 mm. | 780x1820x100 mm. |
| - ท่อน้ำท่อที่ 1 | เส้นผ่านศูนย์กลาง $\frac{3}{8}$ " | เส้นผ่านศูนย์กลาง $\frac{3}{8}$ " | เส้นผ่านศูนย์กลาง $\frac{3}{8}$ " |
| - ท่อน้ำท่อที่ 2 | เส้นผ่านศูนย์กลาง $\frac{3}{8}$ " | เส้นผ่านศูนย์กลาง $\frac{3}{8}$ " | เส้นผ่านศูนย์กลาง $\frac{3}{8}$ " |
| - ท่อน้ำท่อที่ 3 | เส้นผ่านศูนย์กลาง $\frac{3}{8}$ " | เส้นผ่านศูนย์กลาง $\frac{3}{8}$ " | เส้นผ่านศูนย์กลาง $\frac{3}{8}$ " |
| - ท่อน้ำท่อที่ 4 | เส้นผ่านศูนย์กลาง $\frac{3}{8}$ " | เส้นผ่านศูนย์กลาง $\frac{3}{8}$ " | เส้นผ่านศูนย์กลาง $\frac{3}{8}$ " |
| - ท่อน้ำท่อที่ 5 | เส้นผ่านศูนย์กลาง $\frac{3}{8}$ " | เส้นผ่านศูนย์กลาง $\frac{3}{8}$ " | เส้นผ่านศูนย์กลาง $\frac{3}{8}$ " |
| - ท่อน้ำท่อที่ 6 | เส้นผ่านศูนย์กลาง $\frac{3}{8}$ " | เส้นผ่านศูนย์กลาง $\frac{3}{8}$ " | เส้นผ่านศูนย์กลาง $\frac{3}{8}$ " |
| - ท่อน้ำท่อที่ 7 | เส้นผ่านศูนย์กลาง $\frac{3}{8}$ " | เส้นผ่านศูนย์กลาง $\frac{3}{8}$ " | เส้นผ่านศูนย์กลาง $\frac{3}{8}$ " |
| - แผ่นคุณภาพร้อน | | | |
| - ชนวน | ไนโตรไฟเบอร์ 3 cm. | ไนโตรไฟเบอร์ 3 cm. | ไนโตรไฟเบอร์ 3 cm. |
| - กระจัก | กระจักใส หนา 5 mm. | กระจักใส หนา 5 mm. | กระจักใส หนา 5 mm. |

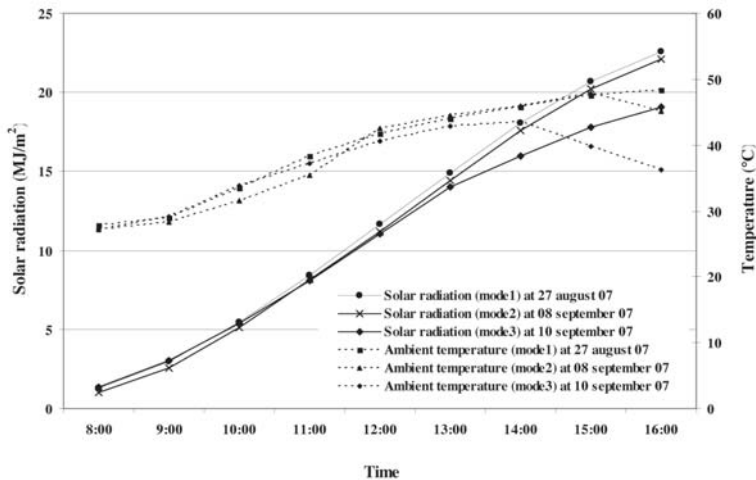
ตารางที่ 2. รายละเอียดฐานแบบการทดลอง

| การ เปิด-ปิด วาล์วที่ท่อน้ำในการทดลองทั้ง 3 แบบ | | | |
|---|------------------|------------------|------------------|
| ลำดับที่ | การทดลองแบบที่ 1 | การทดลองแบบที่ 2 | การทดลองแบบที่ 3 |
| - ท่อน้ำท่อที่ 1 | เปิด 100% | เปิด 50% | เปิด 100% |
| - ท่อน้ำท่อที่ 2 | เปิด 100% | เปิด 50% | เปิด 50% |
| - ท่อน้ำท่อที่ 3 | เปิด 100% | เปิด 50% | เปิด 100% |
| - ท่อน้ำท่อที่ 4 | เปิด 100% | เปิด 50% | เปิด 50% |
| - ท่อน้ำท่อที่ 5 | เปิด 100% | เปิด 50% | เปิด 100% |
| - ท่อน้ำท่อที่ 6 | เปิด 100% | เปิด 50% | เปิด 50% |
| - ท่อน้ำท่อที่ 7 | เปิด 100% | เปิด 50% | เปิด 100% |

ผลการทดลองและการวิเคราะห์

เมื่อเปรียบเทียบการทดลองทั้ง 3 แบบจากปริมาณแสงอาทิตย์และอุณหภูมิแวดล้อมที่ใกล้เคียงกันดังแสดงในรูปที่ 5 ปริมาณพลังงานแสงอาทิตย์รวม

ระหว่างวันสำหรับการทดลองแบบที่ 1 แบบที่ 2 และแบบที่ 3 อยู่ระหว่าง 22.57 MJ/m^2 22.08 MJ/m^2 และ 19.07 MJ/m^2 ตามลำดับ โดยเริ่มการทดลองในแต่ละวันที่เวลาเริ่ม 8:00 น. ถึง 16:00 น. และในระหว่างการทดลองไม่มีการถ่ายน้ำออกจากระบบ

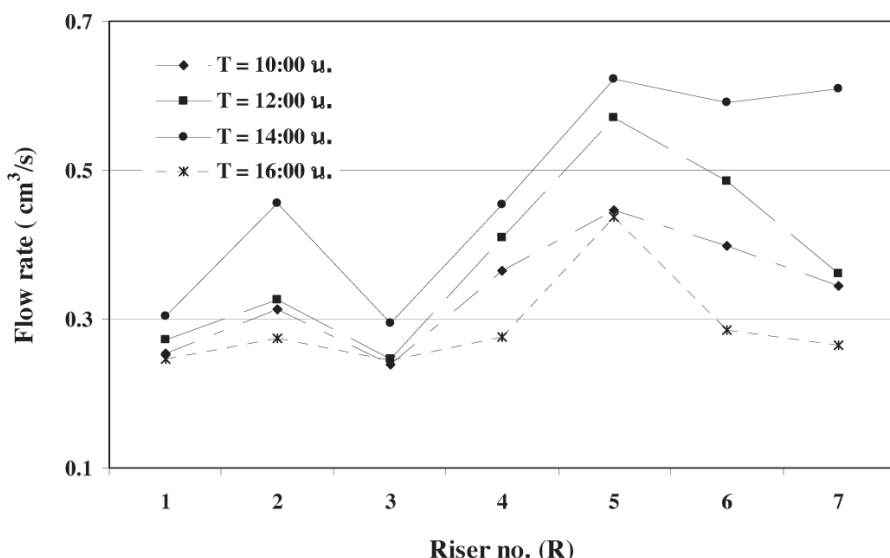


รูปที่ 5. การเปรียบเทียบอุณหภูมิเวคล็อกและปริมาณพลังงานแสงอาทิตย์

1. อัตราการไหหล่องน้ำในท่อน้ำและอุณหภูมิที่แผ่นดูดความร้อนที่ติดแผ่นท่อที่ต่อรวมด้านบน

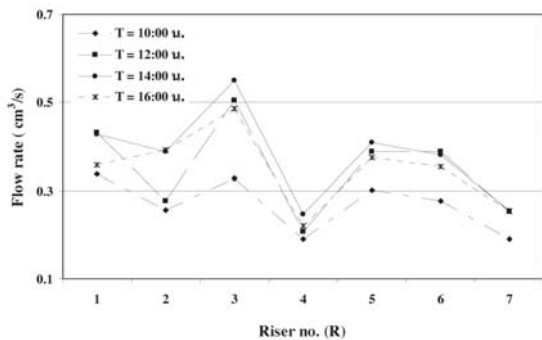
อัตราการไหหลอยในท่อน้ำสำหรับการทดลองแบบที่ 1 น้ำได้แสดงในรูปที่ 6 แม้ว่าจะเป็นเวลาที่ท่อน้ำ 100% เท่ากันทุกท่อ แต่อัตราการไหหล่องน้ำที่ท่อน้ำแต่ละท่อในแต่ละช่วงเวลาที่ทำการวัดมีค่าไม่เท่ากันเนื่องจากท่อน้ำแต่ละท่อได้รับปริมาณแสงอาทิตย์ที่

แตกต่างกันตามทิศทางเคลื่อนของดวงอาทิตย์จากทิศตะวันออกไปทิศตะวันตก และพบว่าอัตราการไหหล่องน้ำมีค่าระหว่าง 0.245 ถึง 0.623 cm³/s อัตราการไหหลงสุดของน้ำในท่อเกิดขึ้นที่เวลา 14:00 น. และอัตราการไหหล่อต่ำสุดของน้ำในท่อเกิดขึ้นที่เวลา 16:00 น. เมื่อจากปริมาณแสงอาทิตย์สูงสุดอยู่ที่เวลา 14:00 น. และต่ำสุดอยู่ที่เวลา 16:00 น.



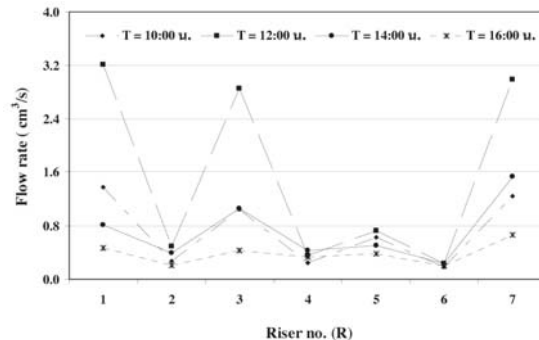
รูปที่ 6. อัตราการไหหล่องน้ำในท่อน้ำสำหรับการทดลองแบบที่ 1

อัตราการไหลงในท่อน้ำสำหรับการทดลองแบบที่ 2 แสดงในรูปที่ 7 เช่นเดียวกับการทดลองแบบที่ 1 แม้ว่าจะเปิดวาวล์ที่ท่อน้ำ 50% เท่ากันทุกท่อ แต่อัตราการไหลงของน้ำที่ท่อน้ำแต่ละท่อในแต่ละช่วงเวลาที่ทำการวัดมีค่าไม่เท่ากันเนื่องจากท่อน้ำแต่ละท่อได้รับปริมาณแสงอาทิตย์ที่ต่ำกว่าที่ต้องการในแต่ละช่วงเวลา แต่ต่างกันตามทิศการเคลื่อนของดวงอาทิตย์จากทิศตะวันออกไปทิศตะวันตก และพบว่าอัตราการไหลงที่วัดได้ต่ำกว่าการทดลองแบบที่ 1 เนื่องจากการเปิดวาวล์ที่ท่อน้ำทุกท่อเพียง 50% อัตราการไหลงของน้ำ มีค่าระหว่าง $0.189 \text{ ถึง } 0.547 \text{ cm}^3/\text{s}$ อัตราการไหลงสูงสุดของน้ำในท่อเกิดขึ้นที่เวลา 14:00 น. และอัตราการไหลงต่ำสุดของน้ำในท่อเกิดขึ้นที่เวลา 10:00 น. เนื่องจากปริมาณแสงอาทิตย์สูงสุดอยู่ที่เวลา 14:00 น. และต่ำสุดอยู่ที่เวลา 10:00 น.



รูปที่ 7. อัตราการไหลงในท่อน้ำสำหรับการทดลองแบบที่ 2

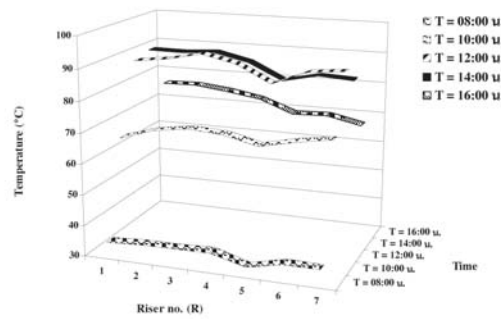
อัตราการไหลงของน้ำในท่อน้ำสำหรับการทดลองแบบที่ 3 แสดงในรูปที่ 8 เมื่อจากท่อน้ำที่เปิดวาวล์เพียง 50% (R2, R4, R6) สะสมความร้อนได้มากกว่าและถ่ายเทความร้อนไปสู่ท่อน้ำที่เปิดวาวล์ 100% (R1, R3, R5, R7) ดังนั้นอัตราการไหลงของน้ำที่ท่อน้ำ R1, R3, R5, R7 จึงสูงกว่าอัตราการไหลงของน้ำที่ท่อน้ำ R2, R4, R6 ซึ่งเจน อัตราการไหลงของน้ำมีค่าระหว่าง $0.20 \text{ ถึง } 0.547 \text{ cm}^3/\text{s}$ อัตราการไหลงสูงสุดของน้ำในท่อเกิดขึ้นที่เวลา 12:00 น. และอัตราการไหลงต่ำสุดของน้ำในท่อเกิดขึ้นที่เวลา 16:00 น. เนื่องจากปริมาณแสงอาทิตย์สูงสุดอยู่ที่เวลา 12:00 น. และต่ำสุดอยู่ที่เวลา 16:00 น. ตามลำดับ



รูปที่ 8. อัตราการไหลงในท่อน้ำสำหรับการทดลองแบบที่ 3

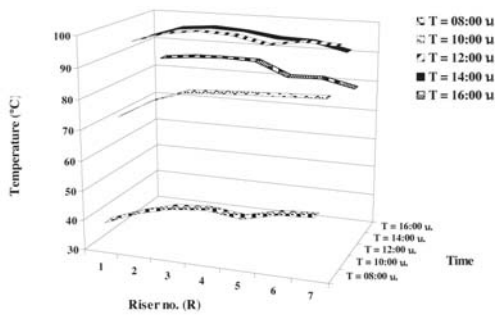
เมื่อเปรียบเทียบอัตราการไหระหว่างการทดลองแบบที่ 1 และ 2 พบว่าอัตราการไหโดยเฉลี่ยของน้ำในท่อน้ำในการทดลองแบบที่ 2 น้อยกว่าการทดลองแบบที่ 1 เพราะการเปิดวาวล์ที่ท่อน้ำเพียง 50% ซึ่งทำให้อัตราการไหช้าลงเมื่อเทียบกับการทดลองแบบที่ 1 แต่เมื่อเปรียบเทียบกับการทดลองแบบที่ 3 ค่อนข้างแตกต่างจากการทดลองทั้ง 2 แบบแรกที่กล่าวไว้แล้วพบว่า ท่อน้ำที่เปิดวาวล์ 100% มีอัตราการไหลงสูงกว่าท่อน้ำที่เปิดวาวล์เพียง 50% เนื่องได้ชั้นมากที่เวลา 12:00 น. เนื่องจากความร้อนโดยรวมของท่อน้ำที่เปิดวาวล์ 100% เพิ่มสูงขึ้น

อุณหภูมิของแผ่นดูดความร้อนที่ดำเนินการในท่อน้ำไหที่รอบด้านบนสำหรับการทดลองแบบที่ 1 แสดงในรูปที่ 9 พบว่า ส่วนใหญ่ อุณหภูมิเฉลี่ยที่วัดได้อยู่ระหว่าง 80°C ถึง 90°C เริ่มตั้งแต่เวลา 11:00 น. ถึง 15:00 น. รวมทั้งสิ้นเวลา 4 ชั่วโมง อุณหภูมิสูงสุดมีค่าเท่ากับ 87°C



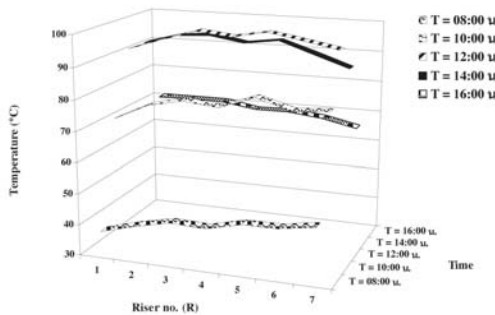
รูปที่ 9. อุณหภูมิของแผ่นดูดความร้อนที่ดำเนินการในท่อน้ำไหที่รอบด้านบนสำหรับการทดลองแบบที่ 1

อุณหภูมิของแผ่นดูดความร้อนที่ติดแน่นของท่อน้ำไกล์ท่อรวมด้านบน สำหรับการทดลองแบบที่ 2 แสดงในรูปที่ 10 พบว่า ส่วนใหญ่ อุณหภูมิเฉลี่ยที่วัดได้อุ่นระหว่าง 90°C ถึง 95°C เริ่มตั้งแต่เวลา 11:00 น. ถึง 15:00 น. รวมทั้งสิ้นเวลา 4 ชั่วโมง อุณหภูมิสูงสุด มีค่าเท่ากับ 93°C



รูปที่ 10. อุณหภูมิของแผ่นดูดความร้อนที่ติดแน่นท่อน้ำไกล์ท่อรวมด้านบนสำหรับการทดลองแบบที่ 2

อุณหภูมิของแผ่นดูดความร้อนที่ติดแน่นของท่อน้ำไกล์ท่อรวมด้านบน สำหรับการทดลองแบบที่ 3 แสดงในรูปที่ 11 พบว่า ส่วนใหญ่ อุณหภูมิเฉลี่ยที่วัดได้อุ่นระหว่าง 90°C ถึง 95°C เริ่มตั้งแต่เวลา 11:00 น. ถึง 14:00 น. รวมทั้งสิ้นเวลา 3 ชั่วโมง อุณหภูมิสูงสุด มีค่าเท่ากับ 91°C



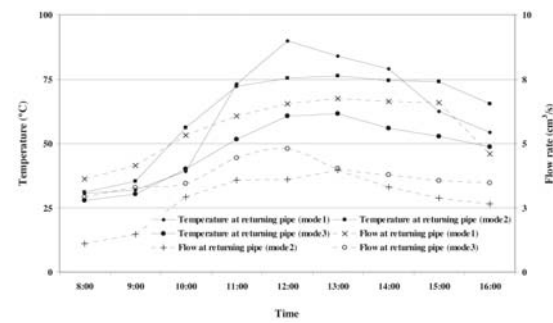
รูปที่ 11. อุณหภูมิของแผ่นดูดความร้อนที่ติดแน่นท่อน้ำไกล์ท่อรวมด้านบนสำหรับการทดลองแบบที่ 3

เปรียบเทียบอุณหภูมิของแผ่นดูดความร้อนที่ติดแน่นของท่อน้ำไกล์ท่อรวมด้านบน จากการทดลองทั้ง 3 แบบ พบว่า เนื่องจากผลการวัดอัตราการไหลดในการทดลองแบบที่ 2 มีค่าต่ำที่สุด เป็นผลให้น้ำในท่อน้ำ

สะสมความร้อนได้มากที่สุด ดังนั้น อุณหภูมิของแผ่นดูดความร้อนที่ติดแน่นของท่อน้ำไกล์ท่อรวมด้านบนในการทดลองแบบที่ 2 จึงสูงที่สุด โดยอุณหภูมิเฉลี่ยสูงสุดเท่ากับ 93°C ที่เวลา 14:00 น. ขณะที่การทดลองแบบที่ 1 อุณหภูมิเฉลี่ยสูงสุดเท่ากับ 87°C ที่เวลา 14:00 น. และการทดลองแบบที่ 3 อุณหภูมิเฉลี่ยสูงสุดเท่ากับ 91°C ที่เวลา 12:00 น. ตามลำดับ

2. อุณหภูมิและอัตราการไหลดของน้ำที่ท่อกลับ

อุณหภูมิและอัตราการไหลดของน้ำที่ท่อกลับจาก การทดลองทั้ง 3 แบบ แสดงในรูปที่ 12 อุณหภูมิของน้ำที่ท่อกลับ เช่นเดียวกับผลการวัดอุณหภูมิของแผ่นดูดความร้อนที่ติดแน่นของท่อน้ำไกล์ท่อรวมด้านบน อุณหภูมิของน้ำที่ท่อกลับในการทดลองแบบที่ 2 มีค่าสูงที่สุด เนื่องจากการทดลองแบบที่ 2 น้ำในท่อน้ำภายในแพลงรับแสงอาทิตย์สะสมความร้อนได้มากที่สุด จึงมีผลต่ออุณหภูมิของน้ำที่ท่อกลับในแนวทางเดียวกัน อัตราการไหลดของน้ำที่ท่อกลับ พบว่า การทดลองแบบที่ 1 มีอัตราการไหลดของน้ำสูงที่สุด รองลงมาเกิดในการทดลองแบบที่ 3 การทดลองแบบที่ 2 มีอัตราการไหลดของน้ำต่ำที่สุด ซึ่งมีผลกระทบต่ออุณหภูมิเฉลี่ยของน้ำในถังน้ำร้อน รวมทั้งประสิทธิภาพของระบบดังแสดงในหัวข้อดังไป

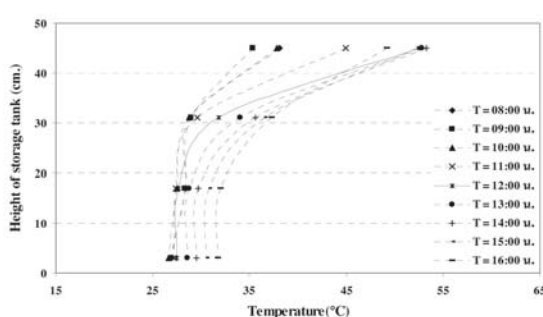


รูปที่ 12. อุณหภูมิและอัตราการไหลดของน้ำที่ท่อกลับสำหรับการทดลองทั้ง 3 แบบ

3. อุณหภูมิเฉลี่ยและการกระจายตัวของอุณหภูมิของน้ำในถังน้ำร้อน

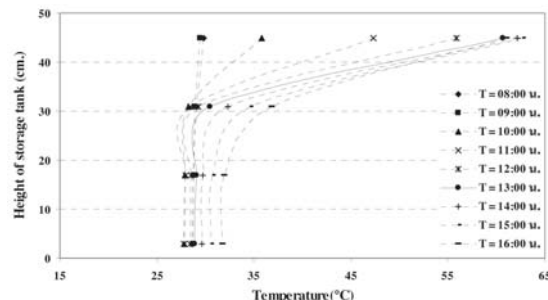
รูปที่ 13 แสดงการกระจายตัวของอุณหภูมิ

ของน้ำในถังน้ำร้อนที่ตำแหน่ง T_1 ถึง T_4 ระหว่างเวลา 8:00 น. ถึง 16:00 น. ใน การทดลองแบบที่ 1 พบว่า อุณหภูมิของน้ำในถังน้ำร้อนที่ตำแหน่งต่างๆ เพิ่มสูงขึ้นตามปริมาณแสงอาทิตย์ ที่ตำแหน่ง T_1 ถึง T_4 ความแตกต่างของอุณหภูมิของน้ำอยู่ในระดับต่ำตลอดช่วงเวลา 8:00 น. ถึง 16:00 น. ขณะที่ตำแหน่ง T_3 และ T_4 มีความแตกต่างกันของอุณหภูมิของน้ำอยู่ในระดับสูง เนื่องจากที่ตำแหน่ง T_4 ได้รับน้ำร้อนซึ่งไหลจากผังรับแสงอาทิตย์โดยตรงและมีค่ามากที่สุดเท่ากับ 20.61°C ที่เวลา 12:00 น.



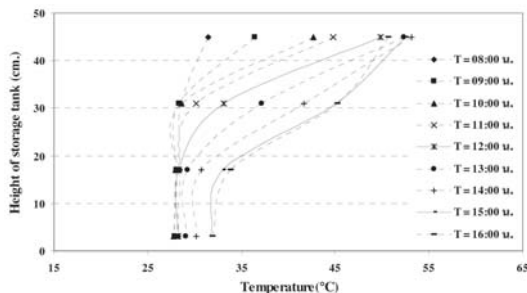
รูปที่ 13. การกระจายตัวของอุณหภูมิภายในถังน้ำร้อนสำหรับการทดลองแบบที่ 1

รูปที่ 14 แสดงการกระจายตัวของอุณหภูมิของน้ำในถังน้ำร้อนที่ตำแหน่ง T_1 ถึง T_4 ระหว่างเวลา 8:00 น. ถึง 16:00 น. ใน การทดลองแบบที่ 2 เช่นเดียวกับการทดลองในแบบที่ 1 พบว่า อุณหภูมิของน้ำในถังน้ำร้อนที่ตำแหน่งต่างๆ เพิ่มสูงขึ้นตามปริมาณแสงอาทิตย์ ที่ตำแหน่ง T_1 ถึง T_4 ความแตกต่างของอุณหภูมิของน้ำอยู่ในระดับต่ำตลอดช่วงเวลา 8:00 น. ถึง 16:00 น. ขณะที่ตำแหน่ง T_3 และ T_4 มีความแตกต่างกันของอุณหภูมิของน้ำอยู่ในระดับสูง และมีค่ามากที่สุดเท่ากับ 30.16°C ที่เวลา 13:00 น. และเพิ่มสูงขึ้นเมื่อเปรียบเทียบกับการทดลองในแบบที่ 1



รูปที่ 14. การกระจายตัวของอุณหภูมิภายในถังน้ำร้อนสำหรับการทดลองแบบที่ 2

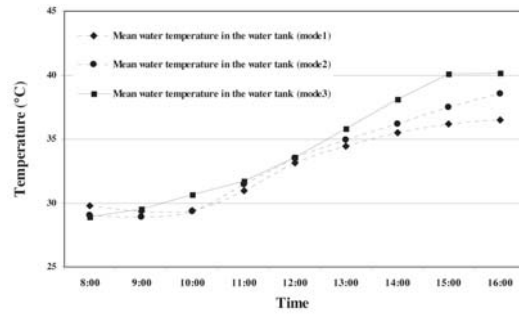
รูปที่ 15 แสดงการกระจายตัวของอุณหภูมิของน้ำในถังน้ำร้อนที่ตำแหน่ง T_1 ถึง T_4 ระหว่างเวลา 8:00 น. ถึง 16:00 น. ใน การทดลองแบบที่ 3 ความแตกต่างของอุณหภูมิของน้ำในถังน้ำร้อนที่ตำแหน่งต่างๆ เพิ่มตามปริมาณแสงอาทิตย์ เช่นเดียวกับการทดลองในแบบที่ 1 และ 2 แต่การกระจายตัวของอุณหภูมิของน้ำในถังน้ำร้อนแตกต่างจาก 2 การทดลองที่ผ่านมา ซึ่งความแตกต่างของอุณหภูมิของน้ำอยู่ในระดับต่ำตลอดช่วงเวลา 8:00 น. ถึง 16:00 น. ที่ตำแหน่ง T_1 ถึง T_3 ส่วนในการทดลองแบบที่ 3 ความแตกต่างของอุณหภูมิของน้ำอยู่ในระดับต่ำตลอดช่วงเวลา 8:00 น. ถึง 16:00 น. อยู่ที่ตำแหน่ง T_1 ถึง T_2 ความแตกต่างกันของอุณหภูมิของน้ำอยู่ในระดับสูงมี 2 ตำแหน่งที่ตำแหน่ง T_2 ถึง T_3 และ T_3 ถึง T_4 มีค่ามากที่สุดเท่ากับ 12.10°C ที่เวลา 15:00 น. ที่ตำแหน่ง T_2 ถึง T_3 และเท่ากับ 16.71°C ที่เวลา 12:00 น. ที่ตำแหน่ง T_3 ถึง T_4 ขณะที่ 2 การทดลองที่ผ่านมาความแตกต่างกันของอุณหภูมิของน้ำอยู่ในระดับสูงมี 1 ตำแหน่งที่ตำแหน่ง T_3 ถึง T_4 แสดงให้เห็นว่าการทดลองแบบที่ 3 มีการกระจายตัวของอุณหภูมิของน้ำในสมำเสมอมากที่สุด และมีผลต่ออุณหภูมิเฉลี่ยของน้ำในถังน้ำร้อนซึ่งแสดงในลำดับดังไป



รูปที่ 15. การกระจายตัวของอุณหภูมิภายในถังน้ำร้อนสำหรับการทดลองแบบที่ 3

อุณหภูมิเฉลี่ยของน้ำในถังน้ำร้อนแสดงในรูปที่ 16 พบว่า ช่วงแรกของการทดลองปริมาณแสงอาทิตย์ และการกระจายตัวของอุณหภูมิของน้ำในถังน้ำร้อนต่าง ดังนี้ค่าอุณหภูมิเฉลี่ยของน้ำในถังน้ำร้อนที่คำนวณได้ จึงมีค่าใกล้เคียงกัน เมื่อเวลาผ่านไปปริมาณแสงอาทิตย์ และการกระจายตัวของอุณหภูมิของน้ำในถังน้ำร้อนสูงขึ้น อุณหภูมิเฉลี่ยของน้ำในถังน้ำร้อนที่คำนวณได้จะเพิ่ม สูงขึ้น ปริมาณแสงอาทิตย์เป็นตัวแปรที่ไม่สามารถควบคุมได้ ดังนั้นช่วงเวลาที่ปริมาณแสงอาทิตย์ลดลง อุณหภูมิเฉลี่ยของน้ำจะลดต่ำลงเช่นกัน แสดงผลซัดเจน ในการทดลองแบบที่ 1 ช่วงเวลา 8:00 น. ถึง 10:00 น. อุณหภูมิเฉลี่ยของน้ำลดต่ำลงจากอุณหภูมิเฉลี่ยเริ่มต้น มีค่าเท่ากับ 29.79°C ที่เวลา 8:00 น. เป็น 29.39°C ที่เวลา 10:00 น. เพราะปริมาณแสงอาทิตย์ที่ลดลงในช่วงเวลา หลังจากนั้นอุณหภูมิเฉลี่ยของน้ำเพิ่มสูงขึ้น มีค่าเท่ากับ 30.94°C ที่เวลา 11:00 น. และเพิ่มต่อเนื่อง เช่นเดียวกันกับการทดลองทั้ง 2 แบบที่เหลือ ความแตกต่างของอุณหภูมิเฉลี่ยของน้ำในถังน้ำร้อนที่ได้จากการทดลองทั้ง 3 การทดลอง เป็นผลจากอุณหภูมิและอัตราการไหหล่องน้ำที่หักลับซึ่งแตกต่างกันในการทดลองทั้ง 3 แบบ อุณหภูมิของน้ำที่หักลับ พบว่า การทดลองแบบที่ 2 มีค่าสูงที่สุด เนื่องจากการทดลองแบบที่ 2 น้ำในท่อน้ำภายในแผงรับแสงอาทิตย์จะสูบ ความร้อนได้มากที่สุดจึงมีผลต่ออุณหภูมิของน้ำที่หักลับ ในแนวทางเดียวกัน อัตราการไหหล่องน้ำที่หักลับ พบว่า การทดลองแบบที่ 1 มีอัตราการไหหล่องน้ำสูงที่สุด รองลงมาเกิดในการทดลองแบบที่ 3 การทดลองแบบที่ 2 มีอัตราการไหหล่องน้ำต่ำที่สุด เป็นผลให้การ

กระจายตัวของอุณหภูมิของน้ำในถังน้ำร้อนแตกต่างกัน เมื่อเปรียบเทียบการกระจายตัวของอุณหภูมิของน้ำในถังน้ำร้อนในการทดลองทั้ง 3 แบบ พบว่า การกระจายตัวของอุณหภูมิของน้ำในถังน้ำร้อนสามารถที่สุดเกิดขึ้นในการทดลองแบบที่ 3 การทดลองแบบที่ 2 และการทดลองแบบที่ 1 ตามลำดับ ตามผลการทดลองที่แสดงในรูปที่ 13, 14 และ 15 ดังนั้นมีค่าอุณหภูมิเฉลี่ยของน้ำในถังน้ำร้อนจากสมการที่ 1 โดยมวลแต่ละส่วน (m_1, m_2, m_3, m_4) และอุณหภูมิของน้ำ (ที่ตำแหน่ง T_1, T_2, T_3, T_4) ดังแสดงในรูปที่ 4 อุณหภูมิเฉลี่ยสูงสุดของน้ำในถังน้ำร้อนจึงเกิดขึ้นในการทดลองแบบที่ 3 การทดลองแบบที่ 2 และการทดลองแบบที่ 1 ตามลำดับ



รูปที่ 16. อุณหภูมิเฉลี่ยของน้ำภายในถังน้ำร้อนจากการทดลองทั้ง 3 แบบ

4. ประสิทธิภาพของระบบ

ประสิทธิภาพของระบบขึ้นอยู่กับระดับอุณหภูมิ และปริมาณน้ำร้อนที่ได้รับจากแผงรับแสงอาทิตย์ ดังนั้นแม้ว่าอุณหภูมิของน้ำที่หักลับในการทดลองแบบที่ 2 มีค่าสูงที่สุด แต่ผลิตน้ำร้อนได้ในปริมาณน้อย เนื่องจากอัตราการหักลับไม่คุ้มค่าที่สุดพิจารณาได้จากการกระจายตัวของอุณหภูมิของน้ำดังรูปที่ 14 เมื่อคำนวณประสิทธิภาพของระบบจากสมการที่ 1 ถึง 4 พบว่า การทดลองแบบที่ 3 มีประสิทธิภาพของระบบสูงที่สุด แม้ว่าอุณหภูมิของน้ำที่สูงสุดจะไม่เท่าการทดลองแบบที่ 2 แต่ได้น้ำร้อนในปริมาณมากกว่าจากการทดลองแบบที่ 2 ได้น้ำร้อนในปริมาณมากกว่าจากการทดลองแบบที่ 3 แสดงการกระจายตัวของอุณหภูมิของน้ำในถังน้ำร้อน น้ำในถังส่วนใหญ่มีอุณหภูมิสูงทำให้ประสิทธิภาพของระบบในการทดลองแบบที่ 3 สูงกว่าแบบอื่นๆ แสดงได้ในตารางที่ 3

ตารางที่ 3. การเปรียบเทียบประสิทธิภาพของระบบระหว่างการทดลองทั้ง 3 แบบ

| | ประสิทธิภาพรวมของระบบ % | | |
|----------------------|-------------------------|------------------|------------------|
| | การทดลองแบบที่ 1 | การทดลองแบบที่ 2 | การทดลองแบบที่ 3 |
| ที่เวลา 12:00 น. (%) | 17.21 | 23.81 | 25.10 |
| ที่เวลา 14:00 น. (%) | 18.89 | 24.31 | 34.28 |
| ที่เวลา 16:00 น. (%) | 17.71 | 25.74 | 35.07 |

สรุปผล

1. การลดอัตราการไหลงที่ท่อน้ำไกล์ท่อรวม เพื่อลดอัตราการไหลงของน้ำในท่อลง ทำให้น้ำในท่อ สะสมความร้อนได้มากขึ้น ดังนั้นอุณหภูมิเฉลี่ยของ แผ่นคุณภาพร้อนที่คำนวณท่องานน้ำและอุณหภูมิของน้ำ ที่ทอกลับจึงเพิ่มสูงขึ้น

2. ประสิทธิภาพของระบบ และอุณหภูมิเฉลี่ยของน้ำในถังขึ้นอยู่กับ ระดับอุณหภูมิและปริมาณ น้ำร้อนที่ได้รับจากแผงรับแสงอาทิตย์ ดังนั้นการ ทดลองในแบบที่ 3 จึงมีประสิทธิภาพของระบบ และ อุณหภูมิเฉลี่ยของน้ำในถังสูงที่สุด เนื่องจากระดับ อุณหภูมิและปริมาณน้ำร้อนที่ได้รับจากแผงรับแสงอาทิตย์ มีค่าเหมาะสมที่สุดสำหรับถังน้ำร้อนขนาด 200 ลิตร

3. จากรูปแบบของท่อน้ำภายในแผงรับ แสงอาทิตย์ของการทดลองแบบที่ 3 ซึ่งสามารถเพิ่ม สมรรถนะของเครื่องทำน้ำร้อนพลังงานแสงอาทิตย์ ชนิดนี้ได้มากที่สุด จึงน่าจะใช้เป็นแนวทางสำหรับ ออกแบบแผงรับแสงอาทิตย์เพื่อพัฒนาของสมรรถนะ ให้สูงขึ้น โดยแนวการออกแบบใหม่คือ การบีบตันหัวท่อ ที่ปลายด้านบนในแผงรับแสงอาทิตย์ โดยบีบตันหัวท่อครึ่ง หนึ่งในตำแหน่ง ท่อเว้นท่อ ซึ่งจะได้สร้างระบบใหม่นี้ และทดสอบเพิ่มเติมต่อไปในอนาคต

กิตติกรรมประกาศ

งานวิจัยนี้ได้รับทุนสนับสนุนจากมหาวิทยาลัย อุบลราชธานี ประเภทเงินรายได้และทุนสนับสนุน การ วิจัยจากภาควิชาวิศวกรรมเครื่องกล คณะวิศวกรรมศาสตร์ มหาวิทยาลัยอุบลราชธานี

เอกสารอ้างอิง

- มารีน่า มะหนิน, 2542, “วิศวกรรมพลังงานแสงอาทิตย์”
มหาวิทยาลัยอุบลราชธานี
- พิสิษฐ์ เตชะรุ่ง ไพบูล และ ชวิติ ถินวงศ์พิทักษ์, 2547,
ผลงานตำแหน่งการต่อท่อน้ำร้อนจากแผง
รับแสงอาทิตย์เข้าสู่ถังน้ำร้อนแบบวางนอน
ต่อสมรรถนะของเครื่องทำน้ำร้อนโดยใช้
พลังงานแสงอาทิตย์, วิศวกรรมสาร มข. ปี
ที่ 31, ฉบับ 1 (มกราคม-มีนาคม 2547), หน้า
56-71--0125-8273
- Abdul-Jabbar N. Khalifa, M.M. Mehdi, 1999, On
the verification of one dimensional heat
flow in a horizontal thermosyphon
storage tank, Energy Conversion &
Management, Volume 40, Issue 9, June
1999, Pages 961-974
- Close, D.J., 1962, The performance of solar water
heaters with natural circulation., Solar
Energy, Volume 6, Issue 1, January-March
1962, Pages 33-40
- Gupta, C.L. and Garg,H.P. 1968, System Design in
Solar Water Heater with Natural
Circulation, Solar Energy, Volume 12,
Issue 2, December 1968, Pages 163-170
- Helwa, N.H., Mobarak, A.M., El-Sallak, M.S., and

- El-Ghetany, H.H., Effect of Hot-Water Consumption on Temperature Distribution in a Horizontal Solar Water Storage Tank, Applied Energy, 1995, Volume 52, Pages 185-197**
- G. L. Morrison and D. B. J. Ranatunga, Thermosyphon Circulation in Solar Collector, Solar Energy, Volume 24, Issue 2, 1980, Pages 191-198**
- Sipit Techarungpaisan, Bancha Buddadee, Sivanappan Kumar, 2005, **Investigation of Water Flow Rate in a Thermosyphon Solar Water Heater**, The 19th Annual Conference of Mechanical Engineering Network of Thailand. Octorber 19-20, 2005, Songkla, Thailand
- P.Techarungpaisan, U.Teeboonma, 2006, **Improving performance of solar water heater with natural circulation by the unflow riser**, SET2006-5th International Conference on Sustainable Energy Technologies. Vicenza, Italy 30 August-1 September 2006
- Pannigul, P. ,1999, **A study of temperature and flow distribution in a natural circulation Solar water heater system**, Master Thesis, Asian Institute of Technology, School of Environment, Resources and development, Bangkok, Thailand
- Riazi R., Mohammad and Razavi Jalil, **Performance of Polypropylene and Steel Tubes in Solar Water Heaters with Natural Circulation**, Energy Sources, Volume 19, Issue 2 February 1997, Pages 147-152
- A. M. Shariah and G. O. G. Löf, **The optimization of tank-volume-to-collector-area ratio for a thermosyphon solar water heater**, Renewable Energy, Volume 7, Issue 3, March 1996, Pages 289-300
- Shitzer, Kalmanoviz, D., Zvirin, Y. and Grossman, G. 1978, **Experiments with a Flat Plate Solar Water Heating System in Thermosyphon Flow**, Energy Source, Volume 19, Pages 147-152
- Y. Zvirin, A. Shitzer and G. Grossman, **The natural circulation solar heater-models with linear and nonlinear temperature distributions**, International Journal of Heat and Mass Transfer, Volume 20, Issue 9, September 1977, Pages 997-999